

---

---

# ТЕПЛОВЫЕ РЕЖИМЫ И НАДЕЖНОСТЬ ПРИБОРОВ И СИСТЕМ

---

---

УДК 536.2

А. Н. СОКОЛОВ, Н. Н. ТАРНОВСКИЙ

## ТЕПЛОВЫЕ СОПРОТИВЛЕНИЯ НЕРАЗЪЕМНЫХ СОЕДИНЕНИЙ ЭЛЕМЕНТОВ КОНСТРУКЦИЙ

Приведены тепловые и математические модели соединений, в которых температурные поля деталей рассматриваются одномерными, коэффициенты теплопроводности материалов и теплообмена через прослойку от температуры и координат не зависят, теплообмен на наружных поверхностях деталей отсутствует. Получены точные и приближенные для частных случаев формулы, определяющие тепловые сопротивления соединений при одинаковых и противоположных направлениях тепловых потоков, поступающих в соединения и вытекающих из него.

*Ключевые слова:* тепловое сопротивление, теплопередача, контактное сопротивление.

Во многих объектах приборостроения встречаются соединения внахлест деталей, имеющих форму пластин и соосных колец. Детали могут быть соединены болтами или клеем, разделены слоем пасты или тонкой газовой прослойкой. Схематические изображения таких соединений представлены на рис. 1, 2 (*a* — при одинаковом, *b* — при противоположном направлении потоков, протекающих в обеих пластинах и обоих кольцах — рис. 1 и 2 соответственно).

При выполнении тепловых расчетов приборов необходимо вычислять тепловые сопротивления подобных соединений деталей. Авторам известна одна работа, посвященная расчету теплового сопротивления штыревого электрического разъема [1], конструкция которого подобна соединению деталей, изображенному на рис. 1, *a*.

В настоящей работе рассмотрены тепловые и математические модели соединений внахлест двух пластин и двух колец, разделенных теплопроводящей прослойкой, в которых тепловые потоки протекают в одном или противоположных направлениях.

Получены соотношения, определяющие тепловое сопротивление между деталями с учетом теплообмена через прослойку.

**Тепловая модель соединения.** Поместим начало координат на торце пластины, на котором задан тепловой поток. Длина общего участка пластин в направлении оси  $x$  —  $L$ , ширина пластин —  $H$ , толщина пластин  $\delta_1$  и  $\delta_2$ , пластины разделены тонкой теплопроводящей прослойкой (см. рис. 1). Для соединения двух колец толщиной  $\delta_1$  и  $\delta_2$  с внутренним  $r_1$  и внешним радиусом  $r_2$  начало координат поместим на общей оси соединения (см. рис. 2).

Сделаем следующие допущения:

- температурные поля пластин неравномерны только в направлении оси  $x$  ( $\delta \ll L$ ,  $L \ll H$ ), колец — только вдоль радиуса;
- наружные поверхности соприкасающихся пластин и колец теплоизолированы;
- коэффициент теплообмена  $k$  через прослойку, разделяющую детали, и коэффициенты теплопроводности  $\lambda_1$  и  $\lambda_2$  материалов пластин и колец не зависят ни от температуры, ни от координат.

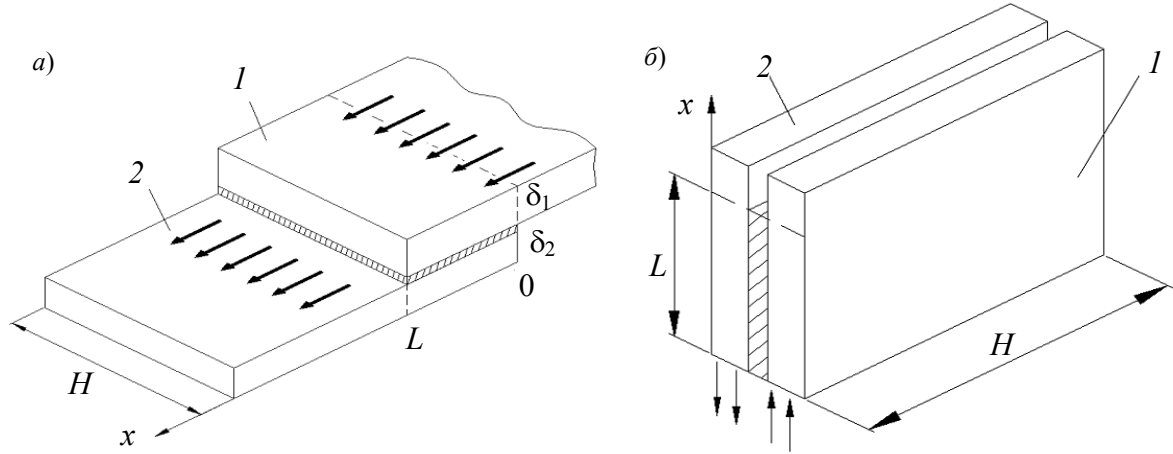


Рис. 1

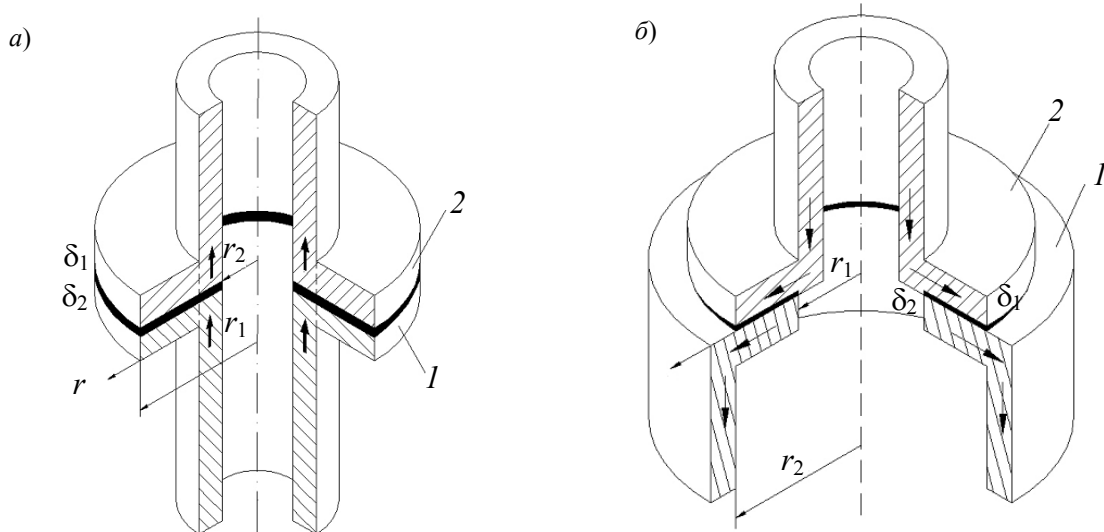


Рис. 2

**Математическая модель соединения.** Рассмотрим тепловой баланс бесконечно малого элемента соединения, получим систему двух уравнений теплопроводности, описывающих распределение температуры в пластинах и кольцах в области соединения,  $t(\eta)$  и  $u(\eta)$ , в следующем виде:

$$\left. \begin{aligned} \nabla^2 t(\eta) - b_1^2 [t(\eta) - u(\eta)] &= 0, & b_1^2 &= \frac{k}{\lambda_1 \delta_1}, \\ \nabla^2 u(\eta) - b_2^2 [u(\eta) - t(\eta)] &= 0, & b_2^2 &= \frac{k}{\lambda_2 \delta_2}, \end{aligned} \right\} \quad (1)$$

где  $\eta$  — обобщенная координата, которая изменяется в пределах  $\eta_1 < \eta < \eta_2$ ;  $\nabla$  — оператор Гамильтона, который для декартовых координат равен  $\nabla^2 = \frac{d^2}{d\eta^2}$  и  $\nabla^2 = \frac{d^2}{d\eta^2} + \frac{1}{\eta} \frac{d}{d\eta}$  — для

полярных координат;  $t(\eta)$ ,  $u(\eta)$  — распределение температуры в деталях, в которые тепловой поток поступает и из которых вытекает соответственно.

Общее решение системы уравнений (1), полученное операторным методом [2], имеет следующий вид для пластин:

$$\begin{aligned} t(\eta) &= C_1 e^{a\eta} + C_2 e^{-a\eta} + C_3 + C_4 \eta, \\ u(\eta) &= -C_1 \left(\frac{b_2}{b_1}\right)^2 e^{a\eta} - C_2 \left(\frac{b_2}{b_1}\right)^2 e^{-a\eta} + C_3 + C_4 \eta, \end{aligned} \quad (2)$$

а для колец

$$\begin{aligned} t(\eta) &= A_1 \ln(\eta) + A_2 + A_3 \left(\frac{b_1}{a}\right)^2 I_0(a\eta) + A_4 \left(\frac{b_1}{a}\right)^2 K_0(a\eta), \\ u(\eta) &= A_1 \ln(\eta) + A_2 - A_3 \left(\frac{b_2}{a}\right)^2 I_0(a\eta) - A_4 \left(\frac{b_2}{a}\right)^2 K_0(a\eta). \end{aligned} \quad (3)$$

Здесь  $a = \sqrt{b_1^2 + b_2^2}$ ;  $I_0, K_0$  — функции Бесселя;  $C_i, A_i$  — произвольные постоянные.

Чтобы получить частные решения уравнений пластин (2) и колец (3), рассмотрим граничные условия для двух случаев. В первом случае тепловой поток, входящий в соединение через поперечное сечение первой детали, распространяется вдоль нее, перетекает через границу раздела во вторую деталь и покидает соединение в том же направлении через противоположное сечение второй детали.

Во втором случае тепловой поток, входящий в соединение через поперечное сечение первой детали, распространяется вдоль нее, перетекает через границу раздела во вторую деталь и покидает соединение через сечение второй детали в направлении, противоположном направлению входящего теплового потока.

Граничные условия для пластин и колец запишем в виде:

$$-\lambda_1 F_1 \frac{dt}{d\eta} \Big|_{\eta=\eta_1} = \Phi, \quad \frac{dt}{d\eta} \Big|_{\eta=\eta_2} = 0, \quad \frac{du}{d\eta} \Big|_{\eta=\eta_1} = 0, \quad u|_{\eta=\eta_2} = u_0, \quad (4)$$

$$-\lambda_1 F_1 \frac{dt}{d\eta} \Big|_{\eta=\eta_1} = \Phi, \quad \frac{dt}{d\eta} \Big|_{\eta=\eta_2} = 0, \quad \frac{du}{d\eta} \Big|_{\eta=\eta_2} = 0, \quad u|_{\eta=\eta_1} = u_0, \quad (5)$$

где  $u_0$  — температура на торце;  $\Phi$  — тепловой поток, поступающий в деталь.

Выражения для  $C_i, A_i$  ( $i=1, 2, 3, 4$ ) имеют громоздкий вид, поэтому здесь не приводятся.

Тепловое сопротивление соединения пластин и колец определим как отношение разности температуры торцов, через которые тепловой поток поступает в соединение и вытекает из него, к величине теплового потока, поступающего в соединение.

Для граничных условий, соответствующих двум указанным случаям, тепловые сопротивления определим по формулам:

$$R_I = \frac{t(\eta_1) - u(\eta_2)}{\Phi}, \quad (6)$$

$$R_{II} = \frac{t(\eta_1) - u(\eta_1)}{\Phi}. \quad (7)$$

При определении значений  $R_I$  и  $R_{II}$  соединений пластин необходимо воспользоваться следующими соотношениями:  $\eta = x$ ,  $\eta_1 = 0$ ,  $\eta_2 = L$ ,  $F_1 = \delta_1 H$ ; для соединений колец  $\eta = r$ ,  $\eta_1 = r_1$ ,  $\eta_2 = r_2$ ,  $F_1 = 2\pi\delta_1 r_1$ .

**Тепловое сопротивление соединения пластин.** Выражение для теплового сопротивления соединения пластин при граничных условиях (4), полученное из уравнений (2) и (6), имеет вид:

$$R_I = \frac{L}{\lambda_2 \delta_2 H} \frac{1}{1+\xi} \left[ \frac{1}{aL\xi \operatorname{sh}(aL)} \left( \operatorname{ch}(aL) + \xi^2 \operatorname{ch}(aL) + 2\xi \right) + 1 \right]. \quad (8)$$

Выражение для теплового сопротивления соединения пластин при встречном направлении тепловых потоков и граничных условиях (5), вычисленное из уравнений (2) и (7), имеет вид:

$$R_{II} = \frac{1+\xi}{\lambda_1 \delta_1 H a} \operatorname{cth}(aL). \quad (9)$$

В выражениях (8) и (9) параметр  $\xi = \frac{b_2^2}{b_1^2} = \frac{\lambda_1 \delta_1}{\lambda_2 \delta_2}$  представляет собой отношение удельных тепловых сопротивлений пластин, преодолеваемых тепловым потоком, протекающим вдоль оси  $x$ .

Выражения для тепловых сопротивлений пластин (8) и (9) можно представить в иной форме, используя соотношение для теплового сопротивления плоской стенки и следующие обозначения:

$$R_1 = \frac{L}{\lambda_1 F_1}, \quad R_2 = \frac{L}{\lambda_2 F_2}, \quad \sigma_k = kS, \quad (10)$$

где  $F_1 = \delta_1 H$ ,  $F_2 = \delta_2 H$  — площадь перпендикулярных оси  $Ox$  поперечных сечений деталей 1 и 2 соответственно;  $S = LH$  — площадь соприкосновения деталей.

Параметры  $R_1$  и  $R_2$  определяют тепловые сопротивления пластин между торцами при отсутствии теплообмена на образующих поверхностях;  $\sigma_k = \frac{1}{R_k}$  определяет тепловую проводимость прослойки между образующими поверхностями пластин.

С учетом (10) выражения (8) и (9) будут иметь вид:

$$R_I = \frac{R_1 R_2}{R_1 + R_2} \left[ \frac{\operatorname{cth}(\sqrt{\sigma_k (R_1 + R_2)})}{\sqrt{\sigma_k (R_1 + R_2)}} \left( \left( \frac{R_1}{R_2} + \frac{R_2}{R_1} \right) + 2 \operatorname{sch}(\sqrt{\sigma_k (R_1 + R_2)}) \right) + 1 \right], \quad (11)$$

$$R_{II} = (R_1 + R_2) \frac{\operatorname{cth}(\sqrt{\sigma_k (R_1 + R_2)})}{\sqrt{\sigma_k (R_1 + R_2)}}. \quad (12)$$

В инженерной практике часто встречаются случаи, когда либо тепловое сопротивление одной пластины много больше сопротивления другой ( $R_1 \gg R_2$ ), либо тепловые сопротивления пластин одинаковы ( $R_1 = R_2$ ), либо тепловое сопротивление прослойки мало по сравнению с суммарным тепловым сопротивлением пластин ( $R_1 + R_2 \gg R_k$ ). В этих случаях формулы для тепловых сопротивлений можно упростить, их вид приведен в табл. 1.

Таблица 1

Частный случай	$R_I$	$R_{II}$
$R_1 = R_2 = R_0$	$\frac{R_0}{2} \left[ \frac{\operatorname{cth} \left( \sqrt{\sigma_k} \frac{R_0}{2} \right)}{\sqrt{\sigma_k} \frac{R_0}{2}} + 1 \right]$	$\sqrt{\frac{2R_0}{\sigma_k}} \operatorname{cth} \left( \sqrt{2\sigma_k} R_0 \right)$
$R_1 \gg R_2$	$\sqrt{\frac{R_1}{\sigma_k}} \operatorname{cth} \left( \sqrt{\sigma_k} R_1 \right)$	$\sqrt{\frac{R_1}{\sigma_k}} \operatorname{cth} \left( \sqrt{\sigma_k} R_1 \right)$
$R_1 + R_2 \gg R_k$	$\frac{1}{R_1 + R_2} \left[ \frac{R_1^2 + R_2^2}{\sqrt{\sigma_k} (R_1 + R_2)} + R_1 R_2 \right]$	$\sqrt{\frac{R_1 + R_2}{\sigma_k}}$

Приведенные в табл. 1 выражения для тепловых сопротивлений значительно упрощаются в случае, если  $\operatorname{cth}(y)=1$ , что имеет место при  $y > 3$ .

Формулы, приведенные для случая равенства тепловых сопротивлений пластин, являются точными, для остальных случаев — приближенными.

**Тепловое сопротивление соединения колец.** Выражения для тепловых сопротивлений соединений колец,  $R_I$  и  $R_{II}$ , в соответствии с формулами (6) и (7) при граничных условиях соответственно (4) и (5) имеют вид:

$$R_I = \frac{1}{2\pi\lambda_2\delta_2} \frac{1}{1+\xi} \left[ \ln \frac{r_2}{r_1} + \frac{1}{aZ} \left( \frac{1}{\xi} \frac{B_1}{r_1} + \frac{2}{ar_1r_2} + \xi \frac{B_2}{r_2} \right) \right], \quad R_{II} = \frac{a}{2\pi kr_1} \frac{B_1}{Z}, \quad (13)$$

здесь введены следующие обозначения:

$$\left. \begin{aligned} B_1 &= K_1(ar_2)I_0(ar_1) + I_1(ar_2)K_0(ar_1), \\ B_2 &= K_1(ar_1)I_0(ar_2) + I_1(ar_1)K_0(ar_2), \\ Z &= K_1(ar_1)I_1(ar_2) - I_1(ar_1)K_1(ar_2). \end{aligned} \right\} \quad (14)$$

Отметим, что при выводе соотношений (13) использовано следующее свойство определителя Вронского  $W$  для функций  $I_0(ar)$  и  $K_0(ar)$  [3]:

$$W(I_0(ar), K_0(ar)) = -1/r.$$

Выражения для тепловых сопротивлений колец, соединенных внахлест, выразим через критерий Био, которые, следуя [4], определим по формулам:

$$Bi_1 = \frac{k}{\lambda_1\delta_1} r_2^2, \quad Bi_2 = \frac{k}{\lambda_2\delta_2} r_2^2, \quad Bi_s = Bi_1 + Bi_2.$$

Преобразуем формулы (13):

$$R_I = \frac{Bi_1}{2\pi\lambda_2\delta_2 Bi_s} \left[ \ln \frac{r_2}{r_1} + \frac{r_2}{Z\sqrt{Bi_s}} \left( \frac{Bi_1}{Bi_2} \frac{B_1}{r_1} + \frac{2}{r_1\sqrt{Bi_s}} + \frac{Bi_2}{Bi_1} \frac{B_2}{r_2} \right) \right], \quad R_{II} = \frac{\sqrt{Bi_s}}{2\pi kr_1 r_2} \frac{B_1}{Z}; \quad (15)$$

$$\left. \begin{aligned} B_1 &= K_1 \left( \sqrt{\text{Bi}_s} \right) I_0 \left( \sqrt{\text{Bi}_s} \frac{r_1}{r_2} \right) + I_1 \left( \sqrt{\text{Bi}_s} \right) K_0 \left( \sqrt{\text{Bi}_s} \frac{r_1}{r_2} \right), \\ B_2 &= K_1 \left( \sqrt{\text{Bi}_s} \frac{r_1}{r_2} \right) I_0 \left( \sqrt{\text{Bi}_s} \right) + I_1 \left( \sqrt{\text{Bi}_s} \frac{r_1}{r_2} \right) K_0 \left( \sqrt{\text{Bi}_s} \right), \\ Z &= K_1 \left( \sqrt{\text{Bi}_s} \frac{r_1}{r_2} \right) I_1 \left( \sqrt{\text{Bi}_s} \right) - I_1 \left( \sqrt{\text{Bi}_s} \frac{r_1}{r_2} \right) K_1 \left( \sqrt{\text{Bi}_s} \right). \end{aligned} \right\} \quad (16)$$

Некоторые частные случаи тепловых сопротивлений колец сведены в табл. 2, при этом коэффициенты  $B_1$ ,  $B_2$ ,  $Z$  определяются по формулам (16), где  $\text{Bi}_s = 2\text{Bi}$ .

Таблица 2

Частный случай	$R_I$	$R_{II}$
$\text{Bi}_1 = \text{Bi}_2 = \text{Bi}$	$\frac{1}{4\pi\lambda_2\delta_2} \left[ \ln \frac{r_2}{r_1} + \frac{1}{\sqrt{2\text{Bi}}} \frac{r_2}{r_1} \frac{B_1}{Z} + \frac{r_2}{r_1} \frac{1}{Z\text{Bi}} + \frac{1}{\sqrt{2\text{Bi}}} \frac{B_2}{Z} \right]$	$\frac{1}{\pi r_1 \sqrt{2\lambda_1\delta_1 k}} \frac{B_1}{Z}$
$\text{Bi}_2 \gg \text{Bi}_1$ $\text{Bi}_2 > 50$	$\frac{1}{2\pi k r_2^2} \left( \text{Bi}_1 \ln \left( \frac{r_2}{r_1} \right) + \sqrt{\text{Bi}_2} \right)$	$\frac{1}{2\pi r_1 \sqrt{\lambda_2\delta_2 k}}$

## СПИСОК ЛИТЕРАТУРЫ

1. Методика расчета теплового сопротивления штыревых электрических разъемов / Сушко В. Ю., Кораблев В. А., Шарков А. В. // Изв. вузов. Приборостроение. 2005. Т. 48, № 9. С. 51—54.
2. Камке Э. Справочник по обыкновенным дифференциальным уравнениям. М.: Наука, 1961.
3. Никифоров А. Ф., Уваров В. Б. Специальные функции математической физики. М.: Наука, 1984.
4. Дульнев Г. Н., Семяшкин Э. М. Теплообмен в радиоэлектронных аппаратах. Л., 1969.

## Сведения об авторах

**Антон Николаевич Соколов**

— аспирант; Санкт-Петербургский государственный университет информационных технологий, механики и оптики, кафедра компьютерной теплофизики и энергофизического мониторинга;  
E-mail: dioux@rambler.ru

**Николай Николаевич Тарновский**

— канд. техн. наук; Комета, Санкт-Петербург; ст. научный сотрудник

Рекомендована кафедрой  
компьютерной теплофизики  
и энергофизического мониторинга

Поступила в редакцию  
29.05.08 г.